

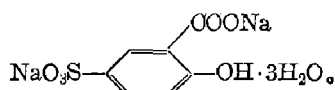
# 磺酸水杨酸二钠晶体电学性能研究

史子康 李征东

(中国科学院福建物质结构研究所)

**摘要**——磺酸水杨酸二钠晶体是一种具有热释电效应的新晶体材料。本文通过实验研究其介电常数、电阻率、损耗角、热释电系数、相变特性以及光透过率等性能。

磺酸水杨酸二钠(DSS)晶体是一种具有热释电效应的新晶体材料。经X射线衍射测定, 确证该晶体属于正交晶系, 点群为 $mm_2$ , 空间群为 $P_{ca}-O_{2V}^5$ 。每个晶胞由四个分子构成。晶胞参数 $a=23.058\text{ \AA}$ ,  $b=9.33\text{ \AA}$ ,  $c=5.473\text{ \AA}$ 。每个分子的结构式是:



分子基团在晶体中无交错层状排列, 晶体的唯一解理面是(100)面。经热分析可知, 这种无对称性的有机水溶液晶体分解温度是 $310^\circ\text{C}$ 。 $c$ 轴[001]为热轴。

本文首次对DSS晶体的介电常数、电阻率、损耗角、热释电系数、相变特性以及光透过率等情况进行了研究。

## 一、样品制备

把定轴好的DSS大块晶体沿垂直于 $c$ 轴的方向进行切割。切割后, 端面粗磨。再经X射线定向后, 整修切割面, 使得晶面方向与 $c$ 轴之差小于 $15'$ 。经细磨后的样品, 均匀刷上1:1成分组合的40号常温固化导电胶。固化二个月后, 形成牢固的电极。测量前刮去边缘的导电金属, 用苯仔细清洗后, 可得到良好的全电极样品。

## 二、实验结果

### 1. 交流电导、介电常数、损耗角特性的测定

利用CO-2精密电容电导电桥逐点测定1kHz条件下不同温度的介电常数、电导、损耗角。在测量的过程中样品壶内温度均匀, 整个系统的分布电容可忽略。测量结果如图1和图2所示。测得 $20^\circ\text{C}$ 时介电常数 $\epsilon_0$ 为6.25、损耗角正切为0.022、交流电阻率为1.29

本文1983年1月12日收到。

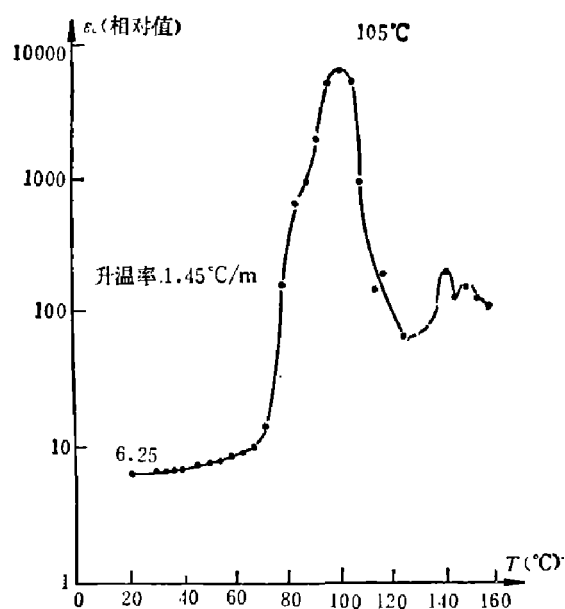


图1 用CO-2电桥逐点测量c轴方向晶体样品时所得的介电常数随温度变化曲线

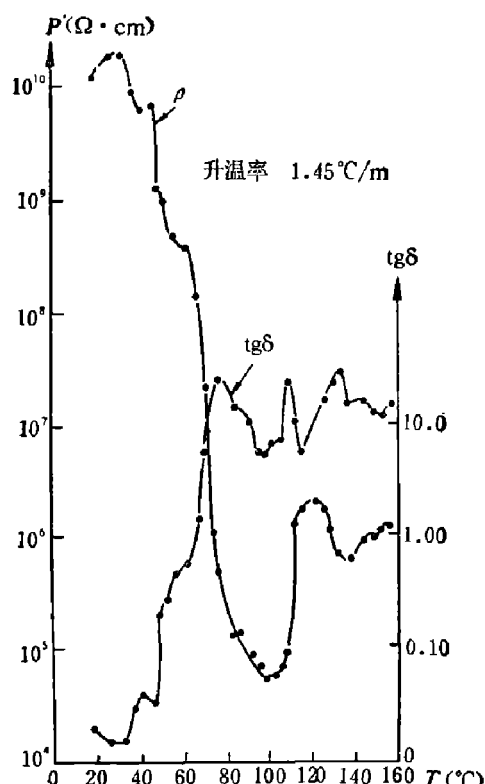


图2 沿c轴方向逐点测定的1kHz交流电导、损耗角正切随温度变化曲线

$\times 10^{10} \Omega \cdot \text{cm}$ 。当温度从20°C升到54°C时，介电常数增加12%、交流电阻率下降一个量级。交流电阻率的峰与介电常数的峰出现在相同的温度下。在峰的附近，电阻率大幅度下降，使得损耗角正切变得很大。100°C附近的晶体结构变化与一般晶体不一样。我们利用铁电相变仪进行重复测量，证明晶体在105°C时确实经历了某种结构变化。这种结构改变是由于晶体脱水造成的。差热分析证明了这种分析的正确性。用X射线粉末衍射也得到相同的结果。

对样品表面方向为c轴的晶片进行了大量的测量，都得到当温度低于65°C时晶体处于高电阻率区、介电常数都处于较小的数值。X射线粉末衍射证明了60°C时DSS未发生脱水相变。

对晶体表面为a、b轴方向的样品进行测量，结果是：a轴方向介电常数为 $10 \pm 10\%$ ；b轴方向介电常数为 $2.7 \pm 10\%$ ；1kHz交流电阻率均大于 $10^9 \Omega \cdot \text{cm}$ 。

图3表示介电常数、电阻率、损耗角正切在频率上升时下降的结果。当频率从100kHz向1MHz变化时，c轴方向的介电常数仅10%。

## 2. DC电导特性的测定

由于DSS是水溶液晶体，分子式中包含三个结晶水，所以无法放在真空中进行测量。晶体样品电极边缘导电会严重地影响测试结果。为了减轻表面电导影响，天气干燥时，用苯清洗电极边缘，然后放入高纯的甲基硅油中，经两天后再进行测量。测量结果表示在图4中。第一次升降温测试DSS晶体DC电阻率时，升温与降温情况不同。升温时，会出现晶体直流电导突然上升现象。但是，降温时，却没有此现象的逆过程。45°之前，DC电阻率在 $2 \sim 4 \times 10^{10} \Omega \cdot \text{cm}$ 之间。在45°C之后，随着温度上升，晶体DC电阻率是下降的。

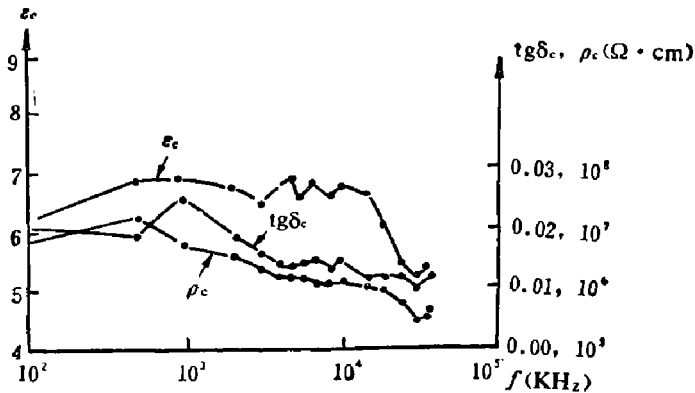


图 3(a)  $c$  轴方向介电常数、损耗角正切、电阻率随频率变化曲线

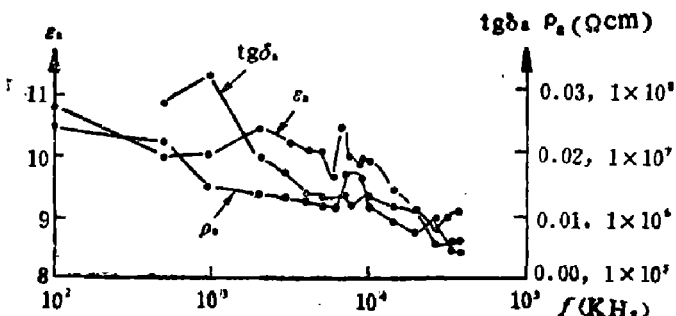


图 3(b)  $a$  轴方向介电常数、损耗角正切、电阻率随频率变化曲线

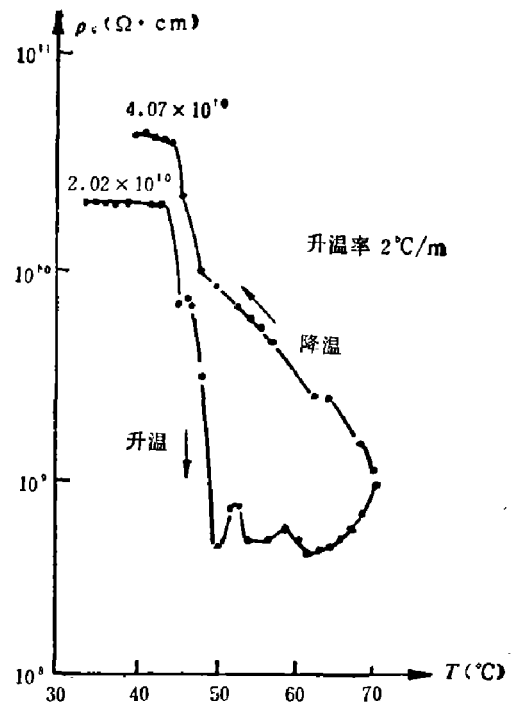


图 4  $c$  轴方向晶体样品在第一次升降温时 DC 电阻率随温度变化曲线

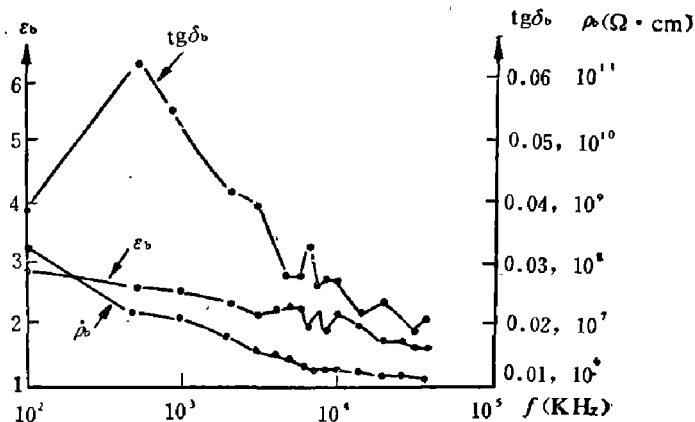


图 3(c)  $b$  轴方向介电常数、损耗角正切、电阻率随频率变化曲线

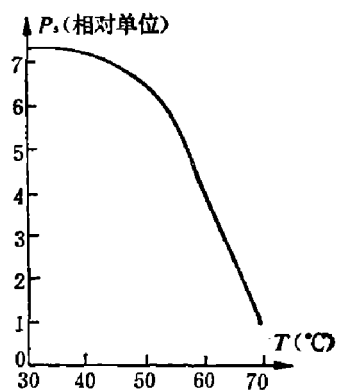


图 5  $c$  轴方向 DSS 晶体的  $P_s-T$  曲线

### 3. 热释电系数的测定

1) 用电荷积分法测定 DSS 晶体的热释电系数<sup>[1]</sup>。我们采用的样品厚度为 0.4 mm, 电极面积为  $0.22 \text{ cm}^2$ 。XY 记录仪上绘出的自发极化强度与温度的曲线如图 5 所示。热释电系数列于表 1。

在潮湿的天气, 用电荷积分法测定 DSS 晶体的热释电系数是困难的。因为 DSS 是水溶液晶体, 全电极样品边缘电导上升, 会造成漂移。当温度上升到 DSS 晶体的严重脱水区, 这种方法已不能使用。

表1 用电荷积分法测得DSS晶体在不同温度下的热释电系数

$T(^{\circ}\text{C})$	31.2	36.2	37.2	40.0	43.0	45.0	50.0
$p(\text{e}/\text{cm}^2\text{k})$	$4.5 \times 10^{-9}$	$9.1 \times 10^{-9}$	$9.9 \times 10^{-9}$	$1.4 \times 10^{-8}$	$2.3 \times 10^{-8}$	$3.2 \times 10^{-8}$	$4.1 \times 10^{-8}$

2) 等速加热法测定DSS晶体热释电系数与热释电反常现象。这是一种直接测量热释电系数的方法。用这种方法测定的DSS晶体热释电系数以及测量条件表示在图6中。

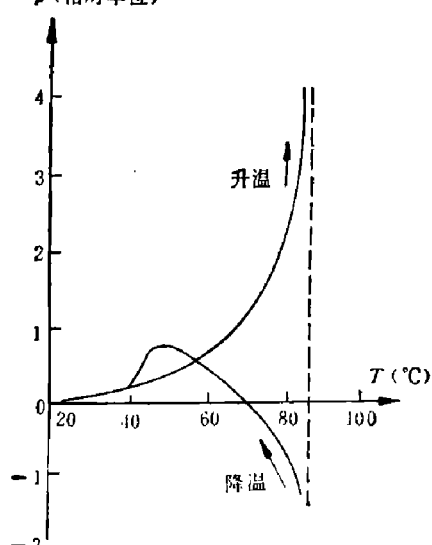


图6 用直接法测定的DSS晶体热释电系数随温度变化的关系

(样品面积  $0.24 \text{ cm}^2$ ; 厚度  $0.4 \text{ mm}$ ; 最高升降温速率不超过  $5^{\circ}\text{C}/\text{min}$ ;  $R_s = 10^5 \Omega$ )

在图6中, 开始降温时热释电系数出现负值, 其物理意义是降温时的自发极化强度变化是与升温时一样的。这就是所谓的热释电反常(或者说是滞后现象)。由于热释电效应反常现象存在, 使得晶体升温时刻的热释电系数与降温时的热释电系数不一样, 也就是说热释电系数随温度的变化不是单值的。我们对多块晶体样品进行测量, 都证实了这种反常热释电效应的存在。从降温开始, 热释电系数出现负值所经历的时间长短与晶体样品升温到最高点  $T_p$  的温度以及所停留的时间多少有关。实验指出,  $T_p$  为  $76^{\circ}\text{C}$ 、 $86^{\circ}\text{C}$  时, 热释电系数出现负值所经历的时间大约为  $6\sim 10 \text{ min}$ 。

为了进一步证实热释电反常现象, 我们用电荷积分法进行了定性观察。对同一个样品进行多次测量发

现, 当  $T_p$  不高时, 利用升温得到的热释电系数基本相同。

### 三、结 论

根据实验, 可以判断DSS晶体在  $105^{\circ}\text{C}$  附近由于脱水而造成结构改变, 晶体分解温度为  $310^{\circ}\text{C}$ 。

DSS晶体在  $c$  轴方向  $30^{\circ}\text{C}$  时基本参数归纳于表2内。

表2 非本征铁电体DSS  $c$  轴方向在  $30^{\circ}\text{C}$  附近电学性能部分参数

脱水相变峰位置 $T(^{\circ}\text{C})$	相对介电常数 $\epsilon_r$	热释电系数 $p$ ( $\text{e}/\text{cm}^2\text{k}$ )	密度 $D$ ( $\text{g}/\text{cm}^3$ )	电阻率 $(1 \text{ kHz})\rho$ ( $\Omega \cdot \text{cm}$ )	DC电阻率 $\rho_0$ ( $\Omega \cdot \text{cm}$ )	$p/\epsilon_r$ ( $\times 10^{-10}$ )	$p\rho^{1/2}/C$ ( $\times 10^{-4}$ )	$p/c\sqrt{\epsilon_r \tan \delta}$ ( $\times 10^{-9}$ )	红外全吸收波段 ( $\mu\text{m}$ )
105	6.2	$4.5 \times 10^{-9}$	1.72 <sup>[2]</sup>	$1.29 \times 10^{10}$	$2 \times 10^{10}$	2.5	2.2	4.5	$\geq 1.4^{[2]}$

注: 表中比热容  $C_V$  取  $2.5 \text{ cal}/\text{cm}^3\text{k}$

优值因子  $p/\epsilon_r$  随温度变化表示在图7中。由图可知, 在  $60^{\circ}\text{C}$  左右出现最大值。

DSS晶体在热释电红外探测器领域可能被运用的温度是  $0\sim 65^{\circ}\text{C}$ 。高于  $65^{\circ}\text{C}$  以后, 无论介电常数, 还是交流电导, 都上升较快; 损耗角正切变大; 虽然升温过程热释电系数变大, 但是滞后效应变得严重, 优值因子反而下降。

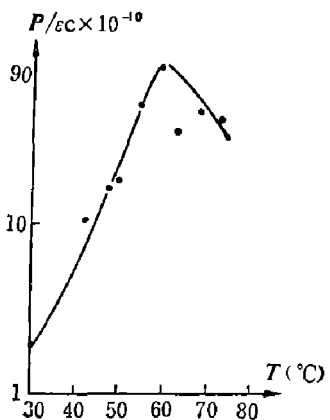


图 7 优值因子与温度关系曲线

致谢——我们的工作受到中国科学院物理所朱镛、张道范同志以前的工作的启发和帮助；我们所用的 DSS 晶体由苏根博研究组提供，他们也参加了部分样品制备工作；副研究员陈创天同志对文章组成和修改作了不少工作，在此一并表示感谢。

### 参 考 文 献

- [1] Pfister G., *J. Appl. Phys.*, **44**(1973), 5:2065.
- [2] 苏根博等, 光学学报, **2**(1982), 5:439~444.

## EXPERIMENTAL INVESTIGATION OF ELECTRICAL PROPERTIES OF DISODIUM SULFOSATICYLATE CRYSTALS

SHI ZIKANG, LI ZHENG DONG

(Fujian Institute of Research on the Structure of Matter, Academia Sinica)

### ABSTRACT

The experimental investigation of a new pyroelectrical crystal disodium sulfosaticylate is described. The results of dielectric constant, resistivity, loss angle, pyroelectric coefficient, phase transition characteristics and the transparency of the disodium sulfosaticylate crystal are presented.